

## 理科综合

本试卷分选择题和非选择题两部分。第Ⅰ卷(选择题)1至5页,第Ⅱ卷(非选择题)6至14页,共14页;满分300分,考试时间150分钟。

### 注意事项:

1. 答题前,务必将自己的姓名、考籍号填写在答题卡规定的位置上。
2. 答选择题时,必须使用2B铅笔将答题卡上对应题目的答案标号涂黑,如需改动,用橡皮擦擦干净后,再选涂其它答案标号。
3. 答非选择题时,必须使用0.5毫米黑色签字笔,将答案书写在答题卡规定的位置上。
4. 所有题目必须在答题卡上作答,在试题卷上答题无效。
5. 考试结束后,只将答题卡交回。

可能用到的相对原子质量:H-1 C-12 O-16 Cl-35.5 Na-23 Fe-56

### 第Ⅰ卷(选择题,共126分)

一、选择题:本题共13个小题,每小题6分。在每小题给出的四个选项中,只有一项是符合题目要求的。

1. 细胞内或细胞间能发生某些物质的交换,对细胞正常进行生命活动十分重要。下列叙述错误的是

- A. 细胞膜上的蛋白质可影响细胞内外的物质交换
- B. 细胞表面积与体积的比值较大有利于物质交换
- C. 细胞核与细胞质能通过核孔自由进行物质交换
- D. 某些植物细胞间能通过胞间连丝进行物质交换

2. 科学探究过程中正确的实验选材有助于达到实验目的。某兴趣小组拟对部分实验的材料进行替换,下列替换合理的是

选项	实验名称	替换前的实验材料	替换后的实验材料
A	用斐林试剂鉴定还原糖	梨匀浆	蛋清稀释液
B	探究pH对酶活性的影响	H <sub>2</sub> O <sub>2</sub> 和过氧化氢酶	淀粉和淀粉酶
C	T <sub>2</sub> 噬菌体侵染大肠杆菌	大肠杆菌	肺炎双球菌
D	观察植物细胞中的叶绿体	菠菜叶	黑藻叶

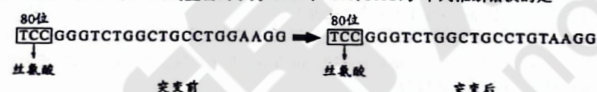
3. 细胞膜上存在某种运输H<sup>+</sup>的载体蛋白(H<sup>+</sup>-ATP酶),该载体蛋白与细胞膜内侧的H<sup>+</sup>结合后,载体蛋白会使ATP水解,驱使H<sup>+</sup>运输到膜外,ATP水解产生的Pi与载体蛋白结合,会使载体蛋白的空间结构改变。下列叙述错误的是

- A. 该载体蛋白具有运输H<sup>+</sup>和催化ATP水解的作用
- B. 载体蛋白与Pi的结合与分离其空间结构都会改变
- C. H<sup>+</sup>从膜内侧运输到膜外侧的跨膜方式为被动运输
- D. 细胞膜上该载体蛋白的数量会影响H<sup>+</sup>的运输速率

4. 细胞外液渗透压升高引发的渴觉称为高渗性渴觉;出汗、呕吐和腹泻等造成血容量(参与循环的血液总量)降低后,刺激容量感受器引发的渴觉称之为容量性渴觉。下列叙述错误的是

- A. 产生高渗性渴觉时,抗利尿激素分泌量减少
- B. 容量感受器兴奋后,在大脑皮层会产生渴觉
- C. 产生容量性渴觉时,机体的渗透压可能降低
- D. 严重腹泻时,机体可能产生两种类型的渴觉

5. 采用诱变技术使基因X发生突变,对突变前后同一单链片段进行测序,结果如图。突变前后第1~80位氨基酸完全相同,第80位氨基酸为丝氨酸(丝氨酸的密码子为UCU、UCC、UCG、UCA、AGU、AGC,终止密码子为UAA、UGA、UAG)。下列推断错误的是



- A. 诱变有可能改变编码前80个氨基酸的碱基序列
- B. 图中所示的单链是基因X进行转录时的模板链
- C. 第80位和第82位的氨基酸相同但密码子不同
- D. 基因X发生突变后指导合成的肽链可能会变短

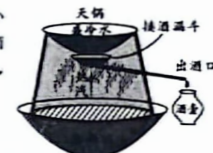
6. 下图是某单基因遗传病的系谱图,不考虑致死、突变和交叉互换等情况。下列分析错误的是



- A. 若Ⅲ-2患病概率为0,则Ⅰ-2和Ⅰ-3均为杂合子
- B. 若Ⅲ-2患病概率为1/4,则致病基因在常染色体上
- C. 若Ⅲ-2为女孩且患病,则该病为常染色体隐性遗传
- D. 若Ⅲ-2为男孩且患病,则Ⅲ-1可能是该病的携带者

7. 成都水井坊是我国最古老的酿酒遗址。其特色之一是在小麦、高粱中先后拌入糟曲和酒曲,发酵后进行“量质摘酒”——以如图所示的生铁“天锅”把酒头摘出后,边摘边尝,优中选优。下列有关说法错误的是

- A. 小麦、高粱中含有的淀粉多糖为高分子化合物
- B. “天锅”材料中只含金属元素
- C. 右图中“摘酒”操作是指通过蒸馏分离出乙醇溶液
- D. 通过“量质摘酒”可得到不同精度的酒



8. 某有机合成中间体的结构简式为

- A. 该物质在一定条件下可以发生聚合反应
- B. 该物质分子所有原子可能共面
- C. 该物质分别与足量Na和NaHCO<sub>3</sub>反应生成气体的体积比为2:1
- D. 其苯环上的一溴取代物有2种

9. 设N<sub>A</sub>为阿伏加德罗常数的值。下列说法一定正确的是

- A. 56 g Fe与1.0 mol Cl<sub>2</sub>充分反应,转移电子数目为3N<sub>A</sub>
- B. 标准状况下,22.4 L NO<sub>2</sub>中含有氮原子的数目大于N<sub>A</sub>
- C. 1.0 L 0.1 mol/L一元酸HA溶液中含有氢离子数目为0.1N<sub>A</sub>
- D. 100 g 质量分数为46%的乙醇水溶液中含有O-H键数目为4N<sub>A</sub>

10. 甲、乙、丙为原子序数依次增大的不同短周期的主族元素。甲、丙形成的单核离子所带电荷数相同;乙和丙的原子最外层电子数之和为10。下列说法错误的是

- A. 丙位于第三周期第ⅤA族
- B. 甲、丙形成的化合物熔融态不导电
- C. 最高价含氧酸酸性:乙<丙
- D. 乙、丙形成的单中心分子中各原子满足8电子结构

11. 下列设计的实验装置能达到实验目的是

序号	A	B	C	D
实验目的	制备少量O <sub>2</sub>	分离酒精和碘	吸收NH <sub>3</sub>	检验石油分馏产物中含有不饱和烃
装置				

12.“三组电解质”储能电池工作示意图如下。放电时,  $\text{Na}^+$  通过固体电解质向 Cu 电极移动, 充电时,Cu 电极上生成  $\text{Cu}_2\text{O}$ 。下列说法错误的是



- A. 放电时, Na 电极失电子, 发生氧化反应  
 B. 放电时, 正极的电极反应为  $\text{Cu}_2\text{O} + 2\text{e}^- + \text{H}_2\text{O} \rightarrow 2\text{Cu} + 2\text{OH}^-$   
 C. 充电时, 当外电路通过 1 mol 电子时, Cu 极区域溶液质量减少 8 g  
 D. 三组电解质有利于  $\text{Na}^+$  运动并防止副反应发生

13. MX 是一种难溶弱酸盐,  $M^+$  离子不水解, 某温度下, 水溶液中  $\text{pM}$  与  $\text{pH}$  关系如下图。若  $K_w$  代表  $\text{K}_w(\text{HO})$ ,  $\text{pM} = -\lg c(\text{M}^+)$ ,  $\text{pK}_w = -\lg c(\text{X}^-) \cdot c(\text{M}^+)$ ,

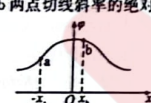
$$2\text{pM} = \text{pK}_w - \lg(1 + \frac{c(\text{H}^+)}{K_w})$$

- A. 无外加酸碱时, MX 溶液中存在  $c(\text{M}^+) > c(\text{X}^-)$   
 B.  $K_w(\text{MX}) \approx 10^{-14}$   
 C. 加入 HX 可实现由甲到乙  
 D.  $K_w \approx 10^{-4.6}$

二、选择题: 本题共 8 小题, 每小题 6 分, 共 48 分。在每小题给出的四个选项中, 第 14~18 题只有一项符合题目要求, 第 19~21 题有两项符合题目要求, 全部选对的得 6 分, 选对但不全的得 3 分, 有错选的得 0 分。

14. 某静电场沿 x 轴分布, 其电势  $\varphi$  随 x 变化规律如图所示, x 轴上 a、b 两点切线斜率的绝对值  $k_a > k_b$ , 下列说法正确的是

- A. a 点场强小于 b 点场强  
 B. a 点场强等于 b 点场强  
 C. 同一正电荷在 a 点的电势能小于在 b 点的电势能  
 D. 同一正电荷在 a 点的电势能大于在 b 点的电势能



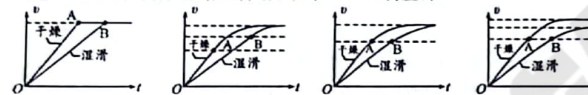
15. 如图, 一矩形线圈在有界匀强磁场中绕垂直于磁场方向的轴匀速转动, 转轴位于磁场边界处且与线圈一边重合, 线圈转动过程中电动势的最大值为  $E_m$ , 则在一个周期内线圈电动势的有效值为

- A.  $E_m$   
 B.  $\frac{E_m}{2}$   
 C.  $\frac{\sqrt{2}E_m}{2}$   
 D.  $\frac{\sqrt{3}E_m}{3}$

16. 图示为氢原子的能级图, 当大量处在  $n=4$  能级的氢原子向低能级跃迁时会辐射不同频率的光子, 用这些光子照射逸出功为 2.29 eV 的金属钠, 能发生光电效应的光子频率有

- A. 2 种  
 B. 3 种  
 C. 4 种  
 D. 5 种

17. 同一赛车分别在干燥路面及湿润路面以恒定加速度  $a_{干}$  和  $a_{湿}$  启动达到最大速度。已知  $a_{干} > a_{湿}$ , 赛车两次启动过程中阻力大小相等且不变, 能达到的额定功率相同。则赛车的速度 v 随时间 t 变化的图像正确的是(图中 OA, OB 为直线)



18. 在地球赤道平面内有一颗运动方向与地球自转方向相同的卫星, 其轨道半径为地球半径的  $\sqrt{2}$  倍, 在赤道上某处建有一卫星监测站。若地球半径为 R, 地球表面重力加速度大小为 g, 地球自转角速度为  $\omega$ , 则监测站能连续监测到该卫星的最长时间约为

- A.  $\frac{\pi}{2}\sqrt{\frac{2R}{g}}$   
 B.  $\frac{\pi}{2}\sqrt{\frac{2\sqrt{2}R}{g}}$   
 C.  $\frac{\pi}{\sqrt{\frac{g}{2R}} - \omega}$   
 D.  $\frac{\pi}{\sqrt{\frac{g}{2R}} - \omega}$

19. 如图, 轻杆中点及一端分别固定有两个完全相同的小球 A 和 B, 另一端与 O 点相连。当轻杆绕竖直轴 OO<sub>1</sub> 匀速转动时, A、B 在水平面上做匀速圆周运动。下列说法正确的是

- A. 小球 A、B 的角速度大小之比为 2:1  
 B. 小球 A、B 的线速度大小之比为 1:2  
 C. 小球 A、B 的加速度大小之比为 1:2  
 D. 小球 A、B 受轻杆的作用力大小之比为 1:2

20. 如图, 半径为 R 的固定光滑圆轨道竖直放置, 套在轨道上质量均为 m 的小球 A 和 B(均可视为质点)用一根长为  $\sqrt{2}R$  的轻杆连接。将 A 置于轨道最低点并由静止释放, 重力加速度大小为 g。下列说法正确的是

- A. 小球 A、B 与轻杆组成的系统机械能守恒  
 B. 小球 A、B 与轻杆组成的系统动量守恒

C. 小球 A、B 等高时, A 球的速率为  $\sqrt{(1 - \frac{\sqrt{2}}{2})gR}$

- D. 从释放到小球 A、B 等高的过程中, 杆对 B 球做功为  $-0.5mgR$

21. 两相距为 L 的长平行导轨 EMP、FNQ 按图示方式固定, MP、NQ 水平, EM、FN 与水平面夹角为 θ, EPNM 及 MNQP 区域内存在磁感应强度大小均为 B, 方向垂直轨道平面向上的匀强磁场。金属杆 ab 以速度 v( $v < \frac{mgR \sin \theta}{B^2 L^2}$ )进入 EPNM 区域的同时, 静止释放位于 MNQP 区域内的金属杆 cd。整个过程 ab、cd 与两轨道始终垂直并保持良好接触, ab 未到达 MN, cd 未离开 PQ。两金属杆质量均为 m, 电阻均为 R, 重力加速度大小为 g, 忽略导轨电阻及一切摩擦阻力。则

- A. ab 刚进入 EPNM 区域时, cd 中电流方向由 d 到 c

B. ab 进入 EPNM 区域后, cd 做加速度增大的加速运动, 最终加速度保持恒定

C. ab 中电流不变后的 t 时间内, cd 动量变化量的大小为  $mgt \sin \theta$

D. cd 中电流不变后的 t 时间内, cd 上产生的焦耳热为  $\frac{m^2 g^2 R \sin^2 \theta}{4B^2 L^2}$

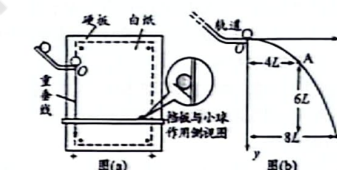
## 第 II 卷(非选择题, 共 174 分)

三、非选择题: 本卷包括必考题和选考题两部分。第 22~32 题为必考题, 每个试题考生都必须做答。第 33~38 题为选考题, 考生根据要求做答。

### (一) 必考题(共 129 分)

22. (6 分)

物理兴趣小组的同学用图(a)所示的装置探究平抛运动的规律并计算平抛初速度  $v_0$  的大小。



(1) 关于实验注意事项, 下列说法正确的是\_\_\_\_\_。(填正确答案标号)

- A. 每次小球释放的初始位置可以任意选择  
 B. 斜槽轨道必须光滑  
 C. 斜槽轨道末端必须保持水平  
 D. 挡板的竖直位置必须等间距变化

(2) 甲同学按正确的操作完成实验并描绘出平抛运动的轨迹, 以斜槽末端端口位置作为坐标原点 O, 重垂线与 y 轴重合, 建立 xOy 平面直角坐标系, 如图(b)所示。甲同学认为仅测量图(b)中 A 点的坐标值, 可以求得小球做平抛运动的初速度大小。乙同学指出此方法中由于小球尺寸不可忽略, 将导致小球在 A 点纵坐标测量值偏小, 进而使初速度的测量值比真实值\_\_\_\_\_(填“偏小”或“偏大”)。

(3) 乙同学提出改进方案, 若准确测出图(b)中 A 点、B 点的横坐标分别为 4L、8L, A 点、B 点的纵坐标之差为 6L, 重力加速度大小为 g, 忽略空气阻力的影响, 可准确求得平抛运动的初速度大小  $v_0 =$  \_\_\_\_\_(用含字母 g、L 的式子表示)。

23. (9 分)

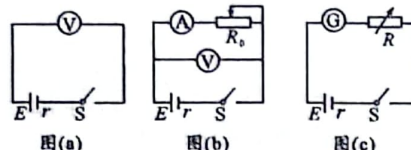
物理兴趣小组的同学利用铜片和锌片平行插入柠檬中制作了一个水果电池, 经查阅资料了解到该水果电池的电动势小于 1 V, 内阻约为 2 kΩ。为了尽可能准确地测量该水果电池的电动势和内阻, 要求电表读数要超过量程的三分之一。实验室能提供的器材规格如下:

电压表 V(0~3 V, 内阻约为 3 kΩ); 电流表 A(0~0.6 A, 内阻约为 0.05 Ω);

微安表 G(0~300 μA, 内阻为 100 Ω); 电阻箱 R(0~9999 Ω);

滑动变阻器 R<sub>0</sub>(0~50 Ω); 开关一个、导线若干。

同学们设计图(a)、图(b)、图(c)所示的三种实验方案并规范进行了实验操作。



(1)用图(a)所示方案,闭合开关,电压表测得的电压\_\_\_\_\_(填“小于”、“等于”或“大于”)水果电池的电动势。

(2)用图(b)所示方案:闭合开关,移动滑动变阻器滑片,电压表、电流表示数\_\_\_\_\_(填“有”或“无”)明显的偏转。

(3)用图(c)所示方案:闭合开关,调节电阻箱阻值,记录下微安表和电阻箱示数如下表:

电阻箱阻值 R	100 $\Omega$	500 $\Omega$	900 $\Omega$	1300 $\Omega$	1700 $\Omega$	2100 $\Omega$	2500 $\Omega$
微安表读数 I	220 $\mu\text{A}$	204 $\mu\text{A}$	172 $\mu\text{A}$	148 $\mu\text{A}$	132 $\mu\text{A}$	119 $\mu\text{A}$	110 $\mu\text{A}$

利用计算机软件描绘出  $\frac{1}{I} - R$  图像如图(d)中实线甲所示,其拟合出的函数关系式为  $\frac{1}{I} = 2.00R + 4126$ 。则根据此函数关系式可计算出该柠檬电池的电动势为\_\_\_\_V,内阻为\_\_\_\_ $\Omega$ 。

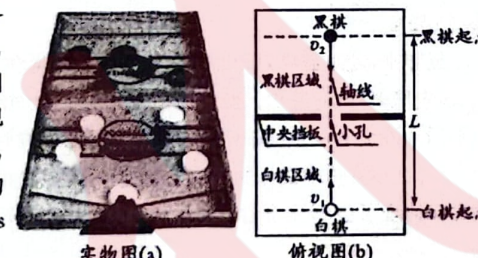
(4)某同学又将铜片和锌片平行插入同一柠檬中的另一位置,用图(c)所示方案重复实验操作,发现得到的函数图像如图(d)中虚线乙所示;造成实验差异的主要原因可能为\_\_\_\_。(填正确答案标号)

- A. 柠檬不同区域酸碱度不同导致电池电动势升高
- B. 铜片和锌片的间距不变但插入深度变深导致水果电池内阻减小
- C. 铜片和锌片的插入深度不变但间距变大导致水果电池内阻变大

#### 24.(12分)

图(a)为某“弹弹棋”的实物图,棋盘水平放置,黑、白棋区域关于中央挡板对称分布。某次游戏过程中,一枚白棋和一枚黑棋同时从各自起点线中央处获得沿轴线方向的初速度,并沿轴线做匀减速直线运动,俯视图如图(b)所示。已知白棋、黑棋质量相等且可视为质点,两起点线之间的距离为  $L = 0.5 \text{ m}$ ,棋子与棋盘动摩擦因数均为  $\mu = 0.5$ ,白棋初速度大小为  $v_1 = 1.5 \text{ m/s}$ ,经时间  $t = 0.2 \text{ s}$  与运动中的黑棋正碰,碰撞过程时间极短且无能量损失,重力加速度大小取  $g = 10 \text{ m/s}^2$ ,求:

- (1)碰撞的位置到白棋起点的距离  $x_1$  及黑棋的初速度大小  $v_2$ ;
- (2)通过计算后判断黑棋能否停在白棋区域。



#### 25.(20分)

如图,在 ABCD 区域内外分别存在竖直向上的匀强电场和垂直于纸面(竖直面)向里的匀强磁场。电荷量为  $q$  ( $q > 0$ ),质量为  $m$  的粒子以速度  $v_0$  从 AD 边中点 O 垂直于 AD 射入电场区域后,经 M 点进入磁场,并从 A 点再次进入电场。已知  $AD = BC = \sqrt{3}L$ ,  $AB = CD = 2\sqrt{3}L$ , 不计粒子重力, 磁场范围足够大。

(1)求电场强度  $E$  的大小;

(2)若仅改变粒子入射速度的大小,求粒子从 AB 边进入磁场到再次从 AB 边离开磁场经历的最长时间  $t_m$ ;

(3)若粒子仍以速度  $v_0$  从 O 垂直 AD 入射并开始计时,第一次经 M 点离开电场后立即撤去电场,求粒子通过 N 点时刻的可能值。

#### 26.(14分)

实验室用废铁屑制取无水氯化铁并测其纯度。实验方案如下:

##### I. $\text{FeCl}_3 \cdot 6\text{H}_2\text{O}$ 制备

- ① 将废铁屑加入 30%  $\text{NaOH}$  溶液中,煮沸 30 分钟,过滤,洗涤 2~3 次。
- ② 将洗涤后废铁屑加入 20% 盐酸,控制温度在 40~50°C 之间,至反应完毕,过滤。
- ③ 向滤液中逐滴加入 10% 双氧水,同时加入 25% 盐酸,充分搅拌至溶液呈棕黄色。
- ④ 将溶液转移至蒸发皿中,加热浓缩,缓慢冷却至大量晶体析出,抽滤,洗涤。

回答下列问题:

- (1)用  $\text{NaOH}$  溶液洗涤废铁屑的目的是\_\_\_\_\_。
- (2)控制温度在 40~50°C 的原因是\_\_\_\_\_。
- (3)滴加 10% 双氧水时,滴加速率过快会产生气泡。该气体为\_\_\_\_\_。

##### II. 无水 $\text{FeCl}_3$ 制备

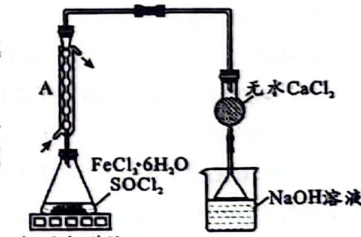
已知  $\text{SOCl}_2$  熔点  $-156^\circ\text{C}$ ,沸点  $77^\circ\text{C}$ ,易水解生成  $\text{SO}_2$  和  $\text{HCl}$ 。

(4)按右图装置进行实验。锥形瓶中生成无水  $\text{FeCl}_3$  的总化学方程式为\_\_\_\_\_,仪器 A 的作用是\_\_\_\_\_。

##### III. 产品纯度测定

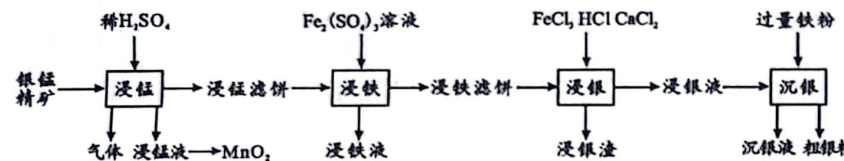
(5)称取 3.250 g 产品试样,配制成 100.00 mL 溶液,取 20.00 mL 于锥形瓶中,加入足量  $\text{KI}$  溶液,经充分反应后,滴入淀粉溶液 3~5 滴,然后用  $0.2000 \text{ mol} \cdot \text{L}^{-1} \text{Na}_2\text{S}_2\text{O}_3$  溶液滴定( $\text{I}_2 + 2\text{S}_2\text{O}_3^{2-} \rightarrow 2\text{I}^- + \text{S}_4\text{O}_6^{2-}$ ),经三次平行实验,平均消耗  $\text{Na}_2\text{S}_2\text{O}_3$  溶液 19.00 mL。

- ① 所制产品的纯度为\_\_\_\_\_(以无水  $\text{FeCl}_3$  质量分数表示,保留三位有效数字);
- ② 所制产品中可能含有  $\text{FeCl}_2$  杂质,检验  $\text{FeCl}_2$  的试剂为\_\_\_\_\_(填化学式)溶液;产生  $\text{FeCl}_2$  的原因可能是\_\_\_\_\_。



27. (14 分)

贵金属银有广泛用途。工业上用银锰精矿(主要含  $\text{Ag}_2\text{S}$ 、 $\text{MnS}$ 、 $\text{FeS}_2$  等)制备银, 同时获得二氧化锰的流程如下。



回答下列问题:

(1)“浸锰”步骤中产生的浸锰液主要含有  $\text{MnSO}_4$ , 生成气体的主要成分为\_\_\_\_\_, 用惰性电极电解浸锰液制  $\text{MnO}_2$ , 写出电解总反应的化学方程式\_\_\_\_\_。

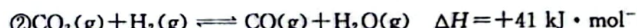
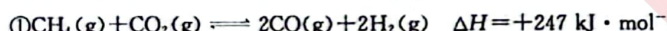
(2)已知“浸铁”步骤中  $n(\text{SO}_4^{2-})$  保持不变, 反应中  $n(\text{氧化剂}) : n(\text{还原剂}) = \text{_____}$ ; 浸铁滤饼的主要成分为 S 和\_\_\_\_\_。

(3)“浸银”时发生反应  $2\text{FeCl}_3 + \text{Ag}_2\text{S} + \text{CaCl}_2 \rightleftharpoons 2\text{FeCl}_2 + \text{Ca}[\text{AgCl}_2]_2 + \text{S}$ , 其中  $[\text{AgCl}_2]^-$  在溶液中是一种稳定配合物。加入  $\text{H}^+$  的作用是\_\_\_\_\_, 结合离子方程式, 从平衡角度分析选用氯化物浓溶液的原因是\_\_\_\_\_。

(4)“沉银”步骤中, 生成单质银的离子反应方程式为\_\_\_\_\_, 沉银液经处理可再利用, 方法是向沉银液中通入\_\_\_\_\_(写化学式), 通过一步转化后循环再用。

28. (15 分)

研究二氧化碳的转化与减排具有重要的社会意义。用  $\text{CH}_4$  还原  $\text{CO}_2$  的反应过程如下:



回答下列问题:

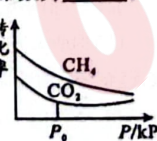


(2) 同时提高  $\text{CH}_4$  与  $\text{CO}_2$  的平衡转化率和速率的措施是\_\_\_\_\_。

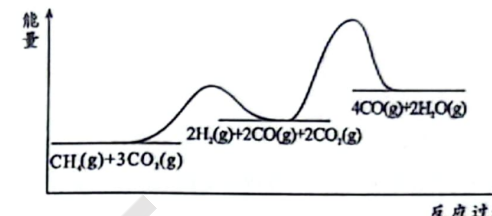
(3) 在密闭容器中分别充入 0.1 mol  $\text{CH}_4$  与 0.3 mol  $\text{CO}_2$ 。

① 保持密闭容器体积为 10 L, 只发生①②反应, 经 10 min 反应达到平衡, 测定出  $\text{H}_2$  和  $\text{H}_2\text{O}$  均为 0.05 mol。10 min 内  $\text{CH}_4$  的平均反应速率为\_\_\_\_\_, 该条件下, 反应② 的平衡常数为\_\_\_\_\_.

② 在 150°C 时, 改变密闭容器的体积, 测得  $\text{CO}_2$  和  $\text{CH}_4$  平衡转化率随压强变化如右图所示。 $\text{CH}_4$  平衡转化率随压强增大而减小的主要原因是\_\_\_\_\_;  $P_0$  后  $\text{CO}_2$  平衡转化率随压强增大而减小缓慢甚至增大, 可能的原因是\_\_\_\_\_。



(4) 在刚性密闭容器中按体积比 1 : 3 投入  $\text{CH}_4$  和  $\text{CO}_2$ , 加入催化剂, 仅发生反应①②。经实验测出两步反应过程的能量变化示意图如下:

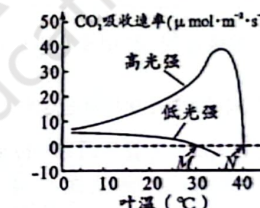


① 在较低温度时, 反应物转化率较高, 但体系中  $\text{H}_2\text{O}$  体积分数很低, 主要原因是活化能  $E_{\text{a},\text{①}}} \text{_____ } E_{\text{a},\text{②}}}$  (填“>”、“<”或“=”).

② 随温度升高,  $\text{H}_2$  的体积分数变化趋势为先增后减, 其可能原因是\_\_\_\_\_。

29. (10 分)

在两种光照强度下, 不同温度对某植物  $\text{CO}_2$  吸收速率的影响如图所示。回答下列问题:



(1) 光照强度直接影响光合作用的光反应阶段, 该阶段进行的场所是\_\_\_\_\_, 发生的能量转化是\_\_\_\_\_. 光合作用中的物质变化与能量变化过程, 能反映出物质和能量之间关系的两个方面, 一方面能量是物质变化的动力, 另一方面\_\_\_\_\_。

(2) 图中的 M 点和 N 点, 该植物的总光合作用速率\_\_\_\_\_(填“一定相等”或“一定不相等”或“不一定相等”), 判断的理由是\_\_\_\_\_。

(3) 当温度低于 35°C 时, 两种光照强度下, 随叶温升高,  $\text{CO}_2$  吸收速率出现不同变化趋势的原因是\_\_\_\_\_。

30. (8 分)

近年来, 若尔盖草原的部分区域受气候变化和人类活动的影响, 土壤含水量降低、肥力减弱、沙尘增多, 草甸退化。当地政府利用人工草方格沙障(将干麦草、干芦苇等材料扎成方格后一半插入沙土中, 一半露出地面)改良土壤取得较好成效。回答下列问题:

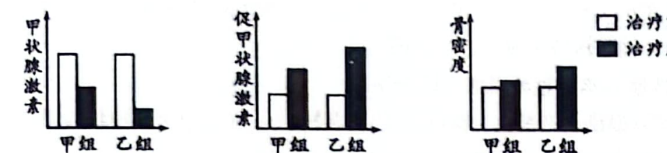
(1) 在草方格中播撒固沙植物的种子, 长成的植物可以防风固沙、涵养水分, 固沙植物的这些功能体现了生物多样性的\_\_\_\_\_价值。设置草方格沙障等人类活动可以改变群落演替的\_\_\_\_\_。

(2) 人工草方格沙障的建立使该区域土壤微生物数量增加, 土壤微生物大多属于分解者, 分解者在生态系统中的作用是\_\_\_\_\_。

(3) 人工草方格沙障修复方案中, 插入沙土中的麦草等, 除能防风固沙外, 在土壤改良中所起的作用是\_\_\_\_\_(答出 2 点)。

## 31.(9分)

甲状腺功能亢进(简称甲亢)是由于甲状腺激素合成和分泌过多所致,老年甲亢患者骨密度呈下降趋势。某医院选取100例老年甲亢患者均分为两组,甲组给予甲巯咪唑治疗,乙组同时给予甲巯咪唑和碘131治疗,治疗前后检测相关激素含量和骨密度(相对值),结果如图所示。回答下列问题:



(1)甲状腺合成和分泌的甲状腺激素会通过\_\_\_\_运输运到全身,该激素的作用是\_\_\_\_(答出2点)。

(2)甲组给予甲巯咪唑治疗后,与治疗前相比,血浆中甲状腺激素的含量降低,据图推测甲巯咪唑的作用可能是\_\_\_\_。图中显示,治疗后促甲状腺激素含量乙组比甲组更高,原因可能是\_\_\_\_。

(3)根据实验结果分析,与甲组相比,乙组治疗老年甲亢的效果更好,判断依据是\_\_\_\_(答出2点)。

## 32.(12分)

某二倍体纯合植物的种子为白色。为改变种子的颜色,研究人员将一个A基因(控制蓝色物质合成)和一个B基因(控制紫色物质合成)同时转入该植物细胞的染色体上并获得转基因植株甲,甲自交获得的F<sub>1</sub>中紫色:蓝色:白色=9:3:4。回答下列问题:

(1)转基因植株甲的细胞中,A和B基因位于\_\_\_\_(填“1对”或“2对”)同源染色体上,判断的理由是\_\_\_\_。

(2)科学家对A、B基因控制色素合成的途径做出了以下两种假设:



上述假设体现了基因通过\_\_\_\_,进而控制生物体的性状。根据题意分析,你认为假设\_\_\_\_(填“一”或“二”)成立,理由是\_\_\_\_。

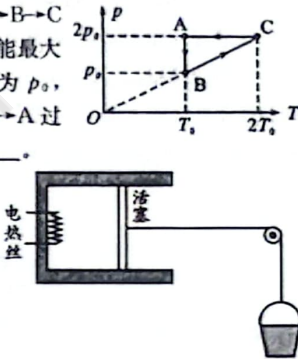
(3)研究人员在该植物的野生种群中发现一株罕见的纯合突变株乙(种子为无色),其细胞内缺乏D基因(该基因控制无色物质转变为白色物质的过程)。请利用植物甲和乙为实验材料,验证A、B、D基因的遗传均符合自由组合定律,写出实验思路和预期结果。实验思路:\_\_\_\_;预期结果:\_\_\_\_。

(二)选考题:共45分。请考生从2道物理题、2道化学题、2道生物题中每科任选一题做答,并用2B铅笔在答题卡上把所选题目的题号涂黑。注意所做题目的题号必须与所涂题目的题号一致,在答题卡选答区域指定位置答题。如果多做,则每学科按所做的第一题计分。

## 33.[物理选修3-3](15分)

(1)(5分)如图所示,一定质量的理想气体依次经历了A→B→C→A的循环过程,p-T图像如图所示,A、B、C三个状态中内能最大的状态为\_\_\_\_(填“A”、“B”或“C”)。已知在状态B时压强为p<sub>0</sub>,体积为V<sub>0</sub>,状态B→C过程气体吸收的热量为Q<sub>0</sub>。从状态C→A过程中气体\_\_\_\_(填“吸收”或“放出”)热量,该热量的数值为\_\_\_\_。

(2)(10分)如图,水平固定不动的绝热气缸内,用不导热的轻质活塞封闭着一定质量的理想气体。活塞横截面积为S,汽缸底部有一电热丝,其阻值为R,一轻绳左端连接活塞,另一端跨过定滑轮后与质量为m的空小桶相连。开始时小桶静止,外界大气压强为p<sub>0</sub>,活塞距离气缸底部的距离为L<sub>0</sub>,不计一切摩擦阻力,重力加速度大小为g。

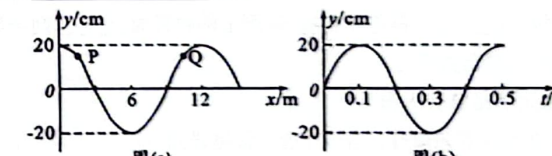


(i)若将电热丝通以大小为I的恒定电流缓慢加热气体,经时间t后,活塞缓慢向右移动的距离为L<sub>1</sub>,求该过程气体内能的增量;

(ii)若将小桶内缓慢加入细沙,同时控制电热丝的加热功率,保持气缸内气体温度不变,当加入质量为m的细沙时,求该过程活塞向右缓慢移动的距离L<sub>2</sub>。

## 34.[物理选修3-4](15分)

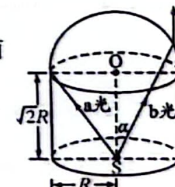
(1)(5分)图(a)为一列沿x轴传播的简谐横波在t<sub>1</sub>=0.15 s时的波形图,图(b)为质点P从t=0时刻开始的振动图像,则该列波沿x轴\_\_\_\_(填“正向”或“负向”)传播,传播速度大小为\_\_\_\_m/s。若质点Q的平衡位置坐标为x=10.5 m,则从t<sub>1</sub>=0.15 s开始计时,写出质点Q的振动方程\_\_\_\_cm。



(2)(10分)如图,某种透明玻璃砖由一个圆柱体和半球体构成,O为半球体的球心,半球体及圆柱体的半径为R,圆柱体的高为 $\sqrt{2}R$ ,底面圆心处有一点光源S,光源可向各个方向发出a、b两种频率不同的光。

(i)若从光源发出的a光直接射到圆柱体和半球体交界面的边界处时恰好发生全反射,求玻璃砖对a光的折射率n<sub>a</sub>;

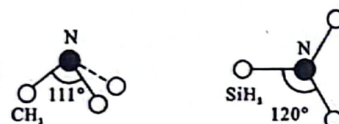
(ii)若从光源发出的b光与OS之间的夹角α=30°,光线从半球体表面以平行于OS的方向射出,求玻璃砖对b光的折射率n<sub>b</sub>。



## 35. [化学选修3:物质结构与性质](15分)

Si、S、Se在自然界中形成多种多样的物质结构。回答下列问题：

- (1) Se与O同族,电负性较大的是\_\_\_\_\_,基态Se原子的价电子运动状态有\_\_\_\_种。
- (2) 已知液态的二氧化硫可以发生类似水的电离: $2\text{SO}_2(\text{l}) \rightleftharpoons \text{SO}^{2+} + \text{SO}^{2-}$ 。 $\text{SO}^{2+}$ 中各原子满足8电子结构,则其σ键和π键数目之比为\_\_\_\_\_, $\text{SO}^{2-}$ 的空间结构为\_\_\_\_\_。
- (3) 有一种观点认为:由于硅的价层有可以利用的空d轨道,而碳没有,因此两者化合物结构和性质存在较大差异。化合物N(CH<sub>3</sub>)<sub>3</sub>和N(SiH<sub>3</sub>)<sub>3</sub>的结构如图所示,N(SiH<sub>3</sub>)<sub>3</sub>为平面形,二者中N的杂化方式分别为\_\_\_\_\_,二者中更易与H<sup>+</sup>形成配位键的是\_\_\_\_\_。



- (4) Se与Si均为非金属元素, $\text{SiO}_2$ 熔点(>1700℃)明显高于 $\text{SeO}_2$ (315℃),原因是\_\_\_\_\_。

(5) α-硒为六方晶胞结构,原子排列为相互平行的螺旋长链(如图1),沿着螺旋链方向的晶胞投影图如图2。 $\alpha$ -硒六方晶胞参数为a pm、b pm、c pm(其中a=b≠c),a轴与b轴间夹角为120°,c轴垂直于a轴与b轴,阿伏加德罗常数的值为N<sub>A</sub>。

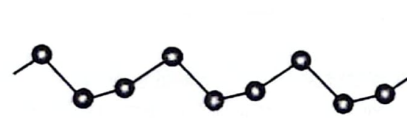


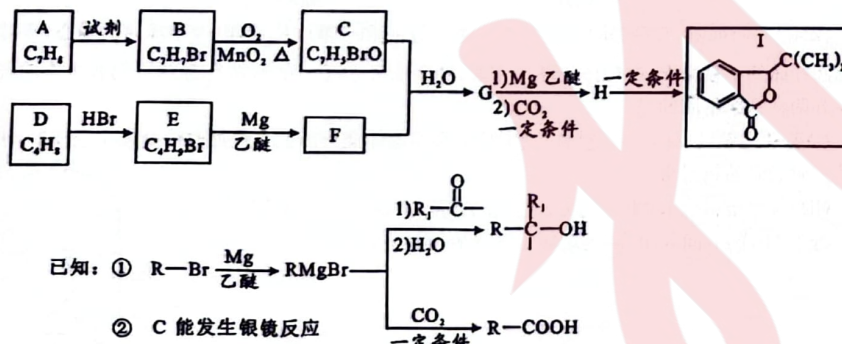
图1

图2

相邻链间的作用力为\_\_\_\_\_.晶胞中含有Se原子的数目为\_\_\_\_\_;则 $\alpha$ -硒晶胞的摩尔体积为\_\_\_\_\_ $\text{m}^3 \cdot \text{mol}^{-1}$ (列出算式)。

## 36. [化学选修5:有机化学基础](15分)

化合物I是一种药物的有效成分。合成I的一种路线如下:

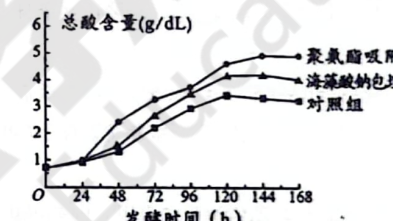


回答下列问题:

- (1) A的化学名称是\_\_\_\_\_,反应A→B的试剂是\_\_\_\_\_。
- (2) B→C反应类型是\_\_\_\_\_。
- (3) D、G的结构简式分别为\_\_\_\_\_,\_\_\_\_\_。
- (4) H→I的化学反应方程式为\_\_\_\_\_,检验I中还有H的实验方法是\_\_\_\_\_。
- (5) X是C的同系物(相对分子质量比C大14),其中核磁共振氢谱有4组峰,且峰面积之比为2:2:2:1的结构简式为\_\_\_\_\_(写两个)。

## 37. [生物——选修1:生物技术实践](15分)

科研工作者以澄清的芒果酒为原料,比较海藻酸钠包埋固定化醋酸菌和聚氨酯吸附固定化醋酸菌在果醋生产过程中的总酸量,结果如图所示。回答下列问题:



- (1) 实验中利用醋酸菌生产芒果醋的原理是\_\_\_\_\_.该实验获得的芒果醋中含有一定量的乳酸,推测乳酸产生的时间可能在\_\_\_\_\_(填“酒精发酵”或“醋酸发酵”)阶段,理由是\_\_\_\_\_。

- (2) 利用海藻酸钠包埋固定化醋酸菌时,使用CaCl<sub>2</sub>溶液的作用是\_\_\_\_\_.据图分析可知,\_\_\_\_固定化醋酸菌更有利于产酸,推测其原因可能是\_\_\_\_\_。

- (3) 与聚氨酯吸附固定化发酵相比,海藻酸钠包埋固定化发酵的芒果醋澄清度好,基本无沉淀物,其原因最可能是\_\_\_\_\_。

## 38. [生物——选修3:现代生物科技专题](15分)

大熊猫是我国的国宝。尽管我国政府采取了许多保护措施,但由于大熊猫的繁殖能力低,幼仔成活率低,它的数量仍然很少。有科学家尝试采用体细胞核移植技术来克隆大熊猫。回答下列问题:

- (1) 动物细胞工程常用的技术包括\_\_\_\_\_,其中\_\_\_\_\_是动物细胞工程的基础。
- (2) 动物细胞核移植技术是\_\_\_\_\_,哺乳动物核移植可以分为\_\_\_\_\_和体细胞核移植,后者难度明显高于前者,原因是\_\_\_\_\_。
- (3) 采用体细胞核移植技术克隆大熊猫的主要过程包括\_\_\_\_\_,利用体细胞核移植技术培育克隆大熊猫,并不是对体细胞供体动物进行100%的复制,原因是\_\_\_\_\_。